

طراحی بهینه قابهای بتون مسلح بر اساس عملکرد

علیرضا حبیبی<sup>\*</sup>، حمید محرومی<sup>\*\*</sup> و عباسعلی تسینیمی<sup>\*\*\*</sup>  
دانشکده مهندسی، گروه عمران، دانشگاه کردستان

(دریافت مقاله: ۱۳۸۶/۱۲/۱۹ - دریافت نسخه نهایی: ۱۳۸۸/۶/۲۱)

# Optimal Performance-Based Design of Reinforced Concrete Frames

A. R. Habibi, H. Moharrami and A. A. Tasnimi

Department of Civil Engineering, Faculty of Engineering, University of Kurdistan

**Abstract:** In traditional methods of Performance-Based Design (PBD), the structure is usually designed to satisfy the performance criteria in an iterative manner. The objective of this research is to define and formulate the PBD problem as an optimization model and to develop a computer-based method for finding Optimal Performance-Based Design (OPBD) of Reinforced Concrete (RC) Frames. First, a definition of the optimization model is provided and explicit relations are then derived for the objective function and constraints of the problem utilizing a nonlinear sensitivity analysis with respect to design variables and the convex approximation method. To solve the optimization problem thus obtained, the dual method is utilized. Some numerical examples are provided to illustrate the capabilities of the proposed method.

**Keywords:** Optimization, Performance-Based Design, Reinforced concrete frame, Nonlinear sensitivity analysis.

$\gamma_{\text{left}}$  = \*\*\*

العدد = \*\*

$$\text{val}_\lambda[\tilde{e}_{\alpha,\beta}] = *$$

## ۱- مقدمه

طراحی بهینه در طراحی بر اساس عملکرد سامانه‌های سازه‌ای که در یک محیط دینامیکی متغیر کار می‌کنند با در نظر گرفتن محدوده پاسخ الاستیک سازه، پیشنهاد دادند. گانزری و همکارانش [۶] در سال ۲۰۰۰ تحلیل بار افزون و ایده طراحی بر اساس عملکرد را در بهینه‌سازی طراحی یک قاب یک دهانه و یک طبقه استفاده کردند. در مقاله آنها، هدف طراحی، حداقل کردن هزینه بتن‌ریزی و آرماتوریندی تحت قیود چرخشهای پلاستیک در انتهای اعضای سازه‌ای بود. در کار آنها، فقط یک سطح عملکرد بپره‌برداری فوری، در بهینه‌سازی در نظر گرفته شد و سطوح عملکردی دیگر کترل شدند. علاوه بر این، برای قیود روابط صریح ریاضی تشکیل نشده بودند و هیچ اطلاعاتی از تحلیل حساسیت فراهم نبود. فولی [۷] در سال ۲۰۰۲ یک دید کلی برای تحلیل سازه‌ای و مراحل طراحی در طراحی بهینه بر اساس عملکرد، فراهم کرد. او یک مسئله بهینه‌سازی PBD به شکل استاندارد پیشنهاد کرد ولی هیچ راهکار مشخصی برای حل آن ارائه نکرد. گنگ [۸] در سال ۲۰۰۳ یک روش رایانه‌ای خودکار برای طرح بهینه قابهای فولادی دو بعدی بر اساس عملکرد توسعه داد. در روش توسعه یافته، محدودیت تغییرمکان نسی طبقات سازه در انواع سطوح عملکردی به عنوان قیود طراحی در نظر گرفته شدند. شکلهای صریحی از قیود بر حسب متغیرهای طراحی، با استفاده از تحلیل حساسیت غیرخطی در سطوح مختلف عملکرد، استخراج شدند. زو و شان [۹] در سال ۲۰۰۵ بهینه‌سازی توزیع میلگرد قابهای بتن‌مسلح را با در نظر گرفتن معیار تغییرمکان نسبی به عنوان تنها معیار عملکردی، بر اساس یک سطح عملکرد انجام دادند. در تحقیقات آنها، روش معیار بهینگی برای طراحی عملکردی جابه‌جایی غیر الاستیک تحت بارگذاری طیفی و بارگذاری بار افزون، به کار رفت. مقدم و کرمی [۱۰] در سال ۲۰۰۱ روش تغییرشکلهای یکنواخت را برای دستیابی به الگوی بار بهینه و بهبود عملکرد لرزه‌ای برای طراحی لرزه‌ای سازه‌های برشی توسعه دادند. مقدم و حاجی رسولیها [۱۱] در سال ۲۰۰۵، تأثیر نحوه توزیع عوامل مقاوم در سازه را بر عملکرد لرزه‌ای آن با استفاده از روش تغییرشکلهای یکنواخت،

به دنبال زلزله‌های اخیر دنیا مانند زلزله‌های لوماپریتا<sup>۱</sup> در سال ۱۹۸۹ و نورثریدج<sup>۲</sup> در سال ۱۹۹۴ و احساس نیاز برای عملکرد بهتر و کترل سطح خسارت سازه، روش طراحی بر اساس عملکرد<sup>۳</sup> (PBD) به عنوان روشنی که مبنی بر پذیرش تغییرمکان و شکل‌پذیری مورد نظر (و همانگ با سطح عملکرد مورد انتظار) باشد، مورد توجه و انتظار قرار گرفت. این روش در مراجع معتبری مانند FEMA273 [۱]، FEMA356 [۲] و ATC40 [۳] مورد تاکید و توجه قرار گرفته است. ارزیابی نسبتاً جامعی در مورد طراحی بر اساس عملکرد در حال توسعه و خلاصه‌ای از تحقیقات و بحثهای مهم در این زمینه، در مرجع [۴] آمده است. در روش سنتی طراحی بر اساس عملکرد، به دلیل پیچیدگیهای خاص آن از قبیل لزوم تعیین عملکرد سازه و در نظر گرفتن رفتار غیر خطی، تصمیم‌گیری برای افزایش یا کاهش ابعاد اجزای سازه برای آنکه کلیه شرایط طراحی در سطح عملکرد مورد نظر برآورده شود، مشکل است. در این روش علاوه بر نیاز به سعی و خطاهای متعدد به کمک عملیات رایانه‌ای و دستی، تضمینی برای اقتصادی شدن طرح وجود ندارد؛ زیرا فقط تعداد کمی از اعضاء به ظرفیت تغییرشکل خود می‌رسند و از بقیه اعضاء به صورت مطلوب استفاده نمی‌شود. در روش بهینه‌سازی طراحی بر اساس عملکرد که نگرشی جدید در این زمینه محسوب می‌شود، علاوه بر کاستن تعداد عملیات سعی و خطای طراحی و در نتیجه صرفه جویی در وقت، با توزیع مناسب مصالح در اعضاء سازه و بهره‌جویی از ظرفیت اعضاء بیشتر می‌توان به طرح اقتصادی و عملکرد بهینه دست یافت.

با وجود قدمت زیاد بهینه‌یابی سازه‌ای که به زمان گالیله مربوط می‌شود و همچنین قدمت بیش از چهار دهه برای بهینه‌یابی قابهای بتنی، به خاطر جدید بودن ایده طراحی بر اساس عملکرد، تحقیقات کمی در مورد موضوع بهینه‌سازی طراحی با استفاده از معیارهای مبنی بر عملکرد، وجود دارند و قدمت این شاخه از تحقیقات به قرن بیست و یکم برمی‌گردد. بک و همکارانش [۵] در سال ۱۹۹۹، یک چارچوب کلی را برای

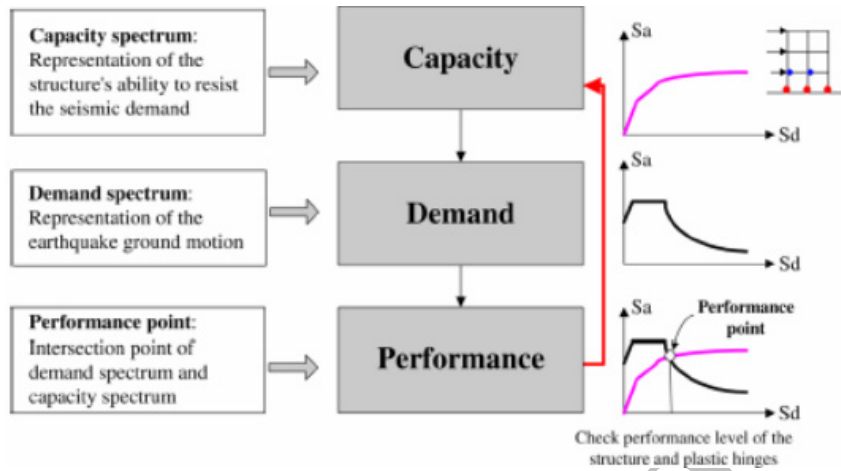
قابل استفاده<sup>۶</sup> (OP)، بهره برداری فوری<sup>۵</sup> (IO)، ایمنی جانی<sup>۶</sup> (LS) و جلوگیری از فروریزش<sup>۷</sup> (CP) نامیده می شوند و هر کدام مشخصه های خاص خود را دارند. به طور خلاصه سطح قابل استفاده، سطح عملکردی است که در آن ساختمان هیچ صدمه ای نمی بیند؛ در سطح بهره برداری فوری، خسارت جزئی به اعضای سازه ای وارد می شود؛ در سطح ایمنی جانی، ساختمان ممکن است خسارت زیادی را در اجزای سازه ای تجربه کند و سطح جلوگیری از فروریزش هنگامی رخ می دهد که ساختمان به حالت ناپایداری کلی یا موضعی رسیده باشد. در این مقاله از روش طیف ظرفیت که توسط ATC40 [۱] برای ارزیابی عملکرد سازه توصیه شده است، استفاده می شود. در روش طیف ظرفیت، تغییر مکان تقاضا در یک نقطه روی طیف ظرفیت اتفاق می افتد که نقطه عملکرد نام دارد. این نقطه موقعیتی را نشان می دهد که در آن، ظرفیت سازه با تقاضای لرزه ای تحمیل شده بر سازه تحت یک زمین لرزه مشخص، برابر است. برای تعیین نقطه عملکرد با استفاده از روش طیف ظرفیت، ابتدا منحنی ظرفیت سازه (تغییرات شتاب طیفی در مقابل تغییر مکان هدف) به طیف ظرفیت (تغییرات پرش پایه در مقابل تغییر مکان هدف) مطابق شکل (۱)، نقطه و سپس از تقاطع آن با طیف پاسخ مطابق شکل (۱)، نقطه عملکرد به دست می آید. عملیات به صورت سعی و خطأ با شروع از یک نقطه عملکرد فرضی برای رسیدن به همگرایی نقطه عملکرد ادامه می یابد. برای تعیین اینکه آیا ساختمان به هدف عملکردی مورد نظر می رسد یا خیر، کمیته ای پاسخ سازه حاصل از تحلیل سازه، با محدودیتهای مربوط به سطوح عملکردی مقایسه می شوند. معیارهای پاسخ به دسته شامل معیارهای پذیرش کلی ساختمان و معیارهای پذیرش اعضا تقسیم می شوند. در تحقیق حاضر، طبق توصیه دستورالعملهای موجود، کترول تغییر مکان نسبی طبقات سازه به عنوان معیار پذیرش کلی ساختمان و کترول چرخشهای پلاستیک انتهای اعضا (برای اعضا کترول شونده توسط تغییر شکل) و کترول مقاومت اعضا (برای اعضا کترول شونده توسط نیرو) به عنوان معیار پذیرش اعضا برای سازه های بتی به کار می روند.

مطالعه کردند. در تحقیقات آنها، هدف یکنواخت کردن توزیع جابه جاییهای سازه برای اصلاح الگوی بارگذاری در یک عملکرد خاص بود. مقدم و اسدی [۱۲] در سال ۲۰۰۶، روش تغییر شکلهای یکنواخت را با در نظر گرفتن معیار تغییر مکان نسبی طبقات سازه به عنوان معیار عملکردی، برای توزیع بهینه میلگرد در قابهای بتن مسلح به کار برداشتند. در تحقیقات آنها، ابعاد مقاطعه بتی ثابت فرض شد و مقدار آرماتورهای طولی به عنوان متغیرهای طراحی فرض شدند.

با وجود اینکه تحقیقات ارزشمندی در سالهای اخیر در مورد طراحی بهینه بر اساس عملکرد انجام شده است، مطالعه تاریخچه موضوع نشان می دهد که اولاً تحقیقی در مورد بهینه سازی همزمان سختی و مقاومت قابهای بتی در طراحی بر اساس عملکرد وجود ندارد؛ ثانیاً هیچ روش بهینه سازی که بتواند همزمان همه معیارهای عملکردی (عملکرد سازه و عملکرد عضو) را در بر بگیرد، توسعه نیافرته است. هدف از تحقیق حاضر، ارائه یک روش بهینه سازی است که علاوه بر توزیع بهینه سختی و مقاومت به طور همزمان، توانایی در نظر گرفتن همه معیارهای عملکردی را به طور همزمان داشته باشد. در روش توسعه یافته، پس از فرمولیندی مسئله طراحی بر اساس عملکرد در قالب یک مسئله بهینه سازی، الگوریتم بهینه سازی محدب با اعمال اصلاحاتی در بخش مربوط به تعیین برای جستجو و حل مسئله دوگان، به کار می رود. همچنین در روش پیشنهادی، با توجه به اینکه ابعاد مقاطع تیرها و ستونها و مقدار آرماتورهای طولی، بر خلاف روشهای موجود طراحی بهینه بر اساس عملکرد، به طور همزمان به عنوان متغیرهای طراحی وارد مدل بهینه سازی می شود، امکان بهینه سازی سختی (در اثر متغیرهای ابعاد) و بهینه سازی مقاومت (در اثر متغیرهای ابعاد و آرماتور) میسر می شود.

## ۲- طراحی بر اساس عملکرد

در ادبیات علمی مربوط به طراحی ساختمانها بر اساس عملکرد، چهار سطح عملکرد تعریف شده اند [۱ - ۴] که سطوح



شکل ۱- ارزیابی عملکرد با استفاده از روش طیف ظرفیت

آرماتور برای عضو زام،  $c_f$  هزینه واحد سطح قالب‌بندی و  $A_s^j$  و  $h^j$  به ترتیب عرض، ارتفاع و طول عضو بتن مسلح،  $R_s^j$  و  $A_{sL}^j$  و  $A_{sM}^j$  سطح مقطع آرماتور به کار رفته در ستون زام،  $A_{sR}^j$  به ترتیب سطح مقطع آرماتورهای چپ، وسط و راست و راست به کار رفته در تیر زام و  $R_L^j$ ،  $R_M^j$  و  $R_R^j$  به ترتیب درصد طولی آرماتورهای چپ، وسط و راست به کار رفته در تیر زام می‌باشند.

قيود طراحی بر اساس عملکرد شامل کنترل معیار عملکردی ساختمان (تغییر مکان نسبی طبقات) و کنترل معیار عملکردی عضو (چرخش پلاستیک یا مقاومت عضو) می‌باشد. با این تعاریف، حال طراحی بهینه بر اساس عملکرد را می‌توان مطابق روابط زیر به شکل یک مسئله استاندارد بهینه‌سازی بیان نمود:

Minimize  $Z = C(X)$  Subject to

$$C_1 : l_p \delta_s - \bar{\delta} \leq 0 \quad (s = 1, 2, \dots, n_\delta); (l_p = 1, \dots, n_{lp})$$

$$C_2 : l_p \theta_r - \bar{\theta}_r \leq 0 \quad (r = 1, 2, n_\theta)$$

$$C_3 : l_p F_i - S_i \leq 0 \quad (i = 1, 2, \dots, n_s)$$

$$C_4 : x_j^l - x_j \leq 0, \quad x_j - x_j^u \leq 0 \quad (j = 1, 2, \dots, n_x)$$

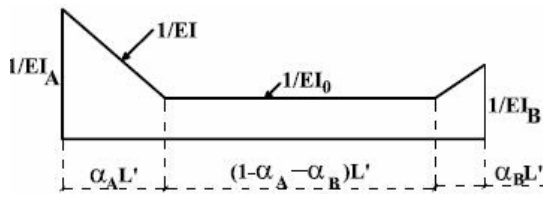
(۲)

### ۳- تشکیل روابط ریاضی مسئله طراحی بهینه بر اساس عملکرد

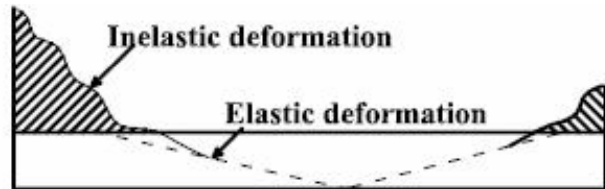
بهینه‌سازی سازه‌ای، مقادیر بهینه پارامترهای طراحی را برای رسیدن به بهترین خروجی یک هدف معین که معیارهای مشخص یک طرح را تامین می‌کند، به دست می‌دهد. بنابراین در بیان ریاضی، هدف حداقل یا حداکثر کردن یکتابع بر حسب چندین پارامتر (متغیرهای طراحی) تحت تعدادی شرایط طراحی (قيود طراحی) می‌باشد. در این مقاله، عرض و ارتفاع مقطع تیرها و ستونها، سطح مقطع آرماتور طولی به کار رفته در ستونها و مقدار آرماتورهای طولی فشاری و کششی تیرها در سه ناحیه چپ، راست و وسط تیر، به عنوان متغیرهای طراحی در نظر گرفته می‌شوند. تابع هدف، هزینه سازه شامل هزینه‌های بتن‌ریزی، آرماتور‌بندی و قالب‌بندی، می‌باشد که با فرض مقاطع مستطیلی برای تیرها و ستونها، آن را می‌توان مطابق معادله زیر بیان نمود:

$$C(X) = \sum_{j=1}^{n_c} \left[ c_c^j \left( b^j h^j - A_s^j \right) + c_s^j A_s^j + 2c_f \left( b^j + h^j \right) \right] L^j + \sum_{j=1}^{n_b} \left[ c_c^j \left( b^j h^j - R_L^j A_{sL}^j - R_M^j A_{sM}^j - R_R^j A_{sR}^j \right) + c_s^j \left( R_L^j A_{sL}^j + R_M^j A_{sM}^j + R_R^j A_{sR}^j \right) + c_f \left( b^j + 2h^j \right) \right] L^j \quad (1)$$

که در آن،  $X$  بردار متغیرهای طراحی،  $c_c$  و  $n_b$  به ترتیب تعداد اعضای ستون و تیر،  $c_s^j$  و  $c_f$  به ترتیب هزینه واحد حجم بتن و



شکل ۳- نمودار نرمی خمشی عضو بتنی در حالت غیرخطی



شکل ۲- توزیع انحنای در طول یک عضو

تحلیل دینامیکی غیرخطی وجود دارند [۲]. در این تحقیق، از تحلیل بار افزون که به عنوان یک روش موثر برای برآوردهای پاسخهای غیرخطی سازه توسط FEMA273 [۲] و ATC40 [۱] توصیه شده است، برای تحلیل غیرخطی قاب بتنی استفاده می‌شود. در تحلیل بار افزون، نیروهای جانبی به صورت یک الگوی بارگذاری مشخص به طور گام به گام افزایش می‌یابند تا اعضای سازه‌ای به تدریج وارد مرحله تسلیم شوند و این عمل تا زمانی ادامه می‌یابد که سازه ناپایدار شود یا یکی از حالات حدی عملکردی اتفاق بیافتد. در تحلیل غیرخطی سازه، ابتدا بایستی یک مدل غیرخطی مناسب برای اعضای انتخاب شود. در این مقاله، یک مدل غیرخطی مناسب که قبل از توسعه داده شده و در نرم‌افزار IDARC به کار رفته است [۱۳]، با اصلاحاتی مورد استفاده قرار می‌گیرد. در این مدل، منحنی تغییرات انحنای در طول عضو مطابق شکل (۲) و نمودار نرمی خمشی به صورت شکل (۳) در نظر گرفته می‌شوند. همان‌طور که مشاهده می‌شود، نواحی دو انتهای سازه در سطح توسعه داده شده و در نرم‌افزار IDARC ثابت فرض شده است. برای جزئیات بیشتر در این مورد، به مراجع [۱۴] و [۱۵] مراجعه شود.

در فرمولیندی بالا Z تابع هدف، بالانویس  $I_p$  مربوط به الگوی بارگذاری مورد نظر (الگوی بارگذاری یکنواخت، توانی و مودال طبق تعریف FEMA356)،  $n_{lp}$  تعداد الگوی بارگذاری،  $n_\delta$  تعداد طبقات سازه،  $n_\theta$  تعداد مقاطع کنترلی چرخش پلاستیک و  $n_s$  تعداد مقاطع کنترلی مقاومت‌اند.  $\delta$  و  $\bar{\delta}$  به ترتیب تغییرمکان نسبی و تغییرمکان نسبی مجاز طبقه،  $\theta$  و  $\bar{\theta}$  به ترتیب چرخش پلاستیک و چرخش پلاستیک مجاز مقاطع عضو،  $F$  نیروی داخلی و  $S$  نیروی مقاوم مقاطع عضوند. قیود طراحی دسته  $C_1$  و  $C_2$  که از محدودیتهای اصلی در طراحی بر اساس عملکرد به شمار می‌روند، به ترتیب مربوط به کنترل تغییرمکان نسبی طبقات سازه و چرخش پلاستیک انتهای اعضای سازه‌ای در سطح عملکرد مورد نظرند. قیود طراحی دسته  $C_3$  که از محدودیتهای فرعی در طراحی بر اساس عملکرد است، مربوط به کنترل مقاومت اعضای سازه در سطح عملکرد مورد نظر است. قیود طراحی دسته  $C_4$  محدودیتهای حداقل و حداقل اندازه متغیرهای طراحی است. توجه شود که مدل بهینه‌سازی تعریف شده مطابق رابطه (۲)، در حالت کلی می‌تواند برای چندین الگوی بارگذاری به طور همزمان به کار رود. همچنین نیروهای زلزله در دو جهت مخالف می‌توانند به عنوان دو الگوی بارگذاری متفاوت وارد مدل بهینه‌سازی شود.

#### ۴- تحلیل سازه

در طراحی بر اساس عملکرد، به طور کلی چهار روش برای تحلیل شامل تحلیل استاتیکی خطی، تحلیل دینامیکی خطی، تحلیل استاتیکی غیرخطی (تحلیل بار افزون<sup>۳</sup>) و

## ۵- تحلیل حساسیت

تحلیل حساسیت یک گام مهم و ضروری در بهینه‌سازی طراحی سازه‌ها است. حساسیت یک پاسخ سازه‌ای عبارت اند از میزان تغییر آن به ازای یک واحد تغییر در متغیر طراحی نظری ابعاد یا نسبت آرماتورهای تیرها و ستونها. در طراحی بر اساس عملکرد که معمولاً از روش غیرخطی برای تحلیل سازه استفاده می‌شود، تحلیل حساسیت غیرخطی<sup>۹</sup> سازه مورد نیاز است. دو دیدگاه کلی برای تحلیل حساسیت شامل روش تحلیلی (AM) و روش تفاضل محدود (FDM) وجود دارد. علی‌رغم ساده بودن روش FDM، نتایج آن برای تحلیل حساسیت غیرخطی بخصوص برای قابهای بتني که دارای متغیرهای طراحی از مرتبه غیر یکسان‌اند ممکن است فاقد دقت لازم و نا معتبر باشد [۱۵ و ۱۶]. از این‌رو در این تحقیق یک روش دقیق برای تحلیل حساسیت غیرخطی سازه به کار می‌رود. برای استخراج معادلات حساسیت غیرخطی از معادلات نیوتون-رافسون اصلاح شده که مطابق رابطه زیر نوشته می‌شوند [۱۷]، استفاده می‌گردد.

$$K_T^{(l)} \Delta d^{(i)} = P^{(l)} - F^{(i-1)}, \quad (3)$$

$$d^{(l)} = \sum_i \Delta d^{(i)}; \quad D^{(l)} = \sum_i d^{(l)}$$

در معادله (۳)،  $K_T^{(l)}$  ماتریس سختی مماسی سازه، تابعی از سختی اعضاء و سختی عضو خود تابعی از سختی خمی نواحی مختلف و طول نواحی الاستیک و غیر الاستیک عضو است؛  $d^{(l)}$  بردار بار خارجی، تابعی از الگوی بارگذاری است؛  $P^{(l)}$  بردار تغییرمکان در گام بارگذاری  $i$  ام،  $\Delta d^{(i)}$  بردار تغییر تغییرمکان در تکرار نیوتون-رافسون  $i$  ام و  $F^{(i-1)}$  بردار نیروهای داخلی در تکرار  $(i-1)$  ام‌اند. با مشتق‌گیری از معادله (۳) نسبت به متغیر طراحی دلخواه  $x$ ، می‌توان حساسیت افزایشی بردار تغییرات تغییرمکان نسبت به این متغیر طراحی را در تکرار نیوتون-رافسون  $i$  ام، با فرض اینکه سایر حساسیتها معلوم باشند، مطابق رابطه (۴) محاسبه کرد. بردار حساسیت تغییرمکان کلی سازه از مجموع حساسیتها افزایشی به دست آمده از رابطه (۴)، تعیین می‌شوند.

$$\frac{d\Delta d^{(i)}}{dx_j} = \left[ K_T^{(l)} \right]^{-1} \left( dP^{(l)} / dx_j - dF^{(i-1)} / dx_j - \Delta d^{(i)} dK_T^{(l)} / dx_j \right) \quad (4)$$

برای استفاده از رابطه (۴)، باید حساسیت ماتریس سختی مماسی، حساسیت بردار نیروهای داخلی و حساسیت بردار بارهای خارجی تعیین شوند. با توجه به اینکه ماتریس سختی مماسی سازه از مجموع ماتریس سختی اعضاء به دست می‌آید، حساسیت ماتریس سختی مماسی را می‌توان از مجموع حساسیت ماتریس سختی اعضاء تعیین کرد. حساسیت ماتریس سختی عضو، با توجه به مدل غیرخطی تعریف شده در بخش قبلی، تابعی از حساسیت سختی خمی نواحی مختلف عضو و حساسیت طول نواحی الاستیک و غیر الاستیک عضو خواهد بود که این حساسیتها خود بنابراین تحلیل حساسیت غیرخطی درگیر یک حل تکراری خواهد شد. همچنین از آنجا که در تحلیل بار افزون، بردار بار خارجی تابعی از الگوی بارگذاری است و الگوی بارگذاری تابعی از مشخصه‌های ارتعاشی سازه مانند پریود و شکل مود ارتعاشی است که این مشخصه‌ها خود تابعی از سختی سازه‌اند؛ حساسیت بردار بار خارجی تابعی از حساسیت سختی سازه خواهد بود. در مورد جزئیات استخراج معادلات حساسیت سختی مماسی، نیروی داخلی و نیروی خارجی و الگویی حل غیرخطی معادلات حساسیت به مراجع [۱۵ و ۱۶] مراجعه شود.

## ۶- الگوییتم بهینه‌سازی

علی‌رغم اینکه انواع وسیعی از روش‌های عددی تا به حال برای بهینه‌سازی توسعه یافته و در حل مسائل بهینه‌سازی به کار رفته‌اند، بهدلیل پیچیدگی مسائل بهینه‌سازی، هیچ روش عمومی که همه مسائل را در بر گیرد، وجود ندارد. در مسائل طراحی، اغلب با قیودی روبرو هستیم که به صورت صریحی بر حسب متغیرهای طراحی قابل بیان نیستند. به همین جهت از بسط سری تیلور (که بر اساس آن هر تابع را می‌توان بر حسب مقدار تابع و مشتقهای آن در یک نقطه نوشت) استفاده شده و روابط

که در آن،  $f_i^0$  به مشتقات اول تابع  $(x)$   $f$  نسبت به متغیرهای  $x_i$  اشاره دارد. علامت  $\sum_{+}$  نشانگر جمع روی جمله‌هایی است که دارای  $f_i^0$  مثبت و  $\sum_{-}$  نشانگر جمع روی جمله‌هایی است که دارای  $f_i^0$  منفی‌اند. با نرمالیزه کردن متغیرهای طراحی  $x_i$  نسبت به متغیرهای طراحی فعلی  $x^0$  و تعاریف  $x_i^0 = x_i - x_i^0$  و  $f_i' = f_i^0 x_i^0$  معادله (۵) به صورت زیر نیز قابل بیان است:

$$f(x) = \sum_{+} f_i' x_i' - \sum_{-} \frac{f_i^0}{x_i^0} + f(x^0) - \sum_{+} |f_i'| \quad (6)$$

مسئله بهینه‌سازی طراحی قابهای بتمنسلح بر اساس عملکرد را که در روابط (۲) آورده شده است، به شکل استاندارد زیر می‌توان نوشت:

$$\begin{aligned} & \min c_0(x) \\ & \text{subject to } c_j(x) \leq 0, \quad (j=1, \dots, m) \end{aligned} \quad (7)$$

$$x_i^l \leq x_i \leq x_i^u$$

که در آن،  $c_0(x)$  تابع هدف و  $c_j(x)$  تابع قیود طراحی هستند. با به کارگیری معادله ۶ و صرف نظر از علامت پریم (۷)، مسئله را می‌توان به شکل زیر محدب کرد:

$$\begin{aligned} & \min \sum_{+} c_{ij} x_i - \sum_{-} \frac{c_{ij}}{x_i} - \bar{c}_j \\ & \text{subject to: } \sum_{+} c_{ij} x_i + \sum_{-} \frac{c_{ij}}{x_i} \leq \bar{c}_j \quad (j=1, \dots, m) \end{aligned} \quad (8)$$

$$x_i^l \leq x_i \leq x_i^u$$

که در آن،  $c_{ij}$  و  $\bar{c}_j$ ‌ها به ترتیب مشتقات مرتبه اول تابع هدف و تابع قیود طراحی‌اند که در نقطه طراحی فعلی  $x^0$  با استفاده از نتایج تحلیل حساسیت غیرخطی به دست می‌آیند.  $\bar{c}_j$ ‌ها مقادیر ثابتی‌اند که از رابطه زیر محاسبه می‌شوند:

$$\bar{c}_j = \sum_i |c_{ij}| x_i^0 - c_j(x^0) \quad (j=0, \dots, m) \quad (9)$$

با وجود اینکه روش‌های متفاوتی برای حل مسئله بهینه‌سازی پیشنهاد شده است؛ خاصیت جداپذیر بودن متغیرهای طراحی، حل آن را با روش دوگان، ساده و امکان‌پذیر می‌سازد. در روش دوگان، برای هر مسئله بهینه‌سازی یک مسئله دیگر که دوگان آن نامیده می‌شود، تعریف می‌شود. از نظریه دوگان ثابت می‌شود که

ریاضی صریح قیود طراحی یا تابع هدف نوشه می‌شود. با توجه به لزوم استفاده از مشتقات تابع، لازم است برنامه اجزای محدود مجهر به تحلیل حساسیت (محاسبه مشتقات) شود تا بتوان قیود طراحی از قبیل تغییرشکل و مقاومت را به صورت توابع صریحی از متغیرها بیان کرد. با توجه به اینکه استفاده از سری تیلور با دقت بالا، نیاز به محاسبه مشتقات مرتبه بالا برای توابع قیود و تابع هدف دارد و ارزیابی این مشتقات در مهندسی سازه پیچیده و بسیار وقت‌گیر است، معمولاً از بسط مرتبه اول برای بیان صریح توابع در مسائل مهندسی سازه استفاده شده است [۱۸ و ۱۹]. اشمیت و فرشی [۲۰] توانستند با تقریب‌سازی قیود طراحی بر حسب عکس متغیرهای طراحی، دقت تقریب‌سازی را افزایش داده و پایه‌ای برای بهینه‌سازی سازه‌ای مدرن ایجاد کنند. یکی از راهکارهای تقریب‌سازی موثر که در دهه گذشته برای تقریب مسائل بهینه‌سازی با قیود طراحی پیچیده، به طور موقتی آمیزی به کار رفته است، تقریب-محدب است. در میان روش‌های تقریب‌سازی، این روش به محافظه‌کارانه ترین تقریب متهی می‌شود و با توجه به پیچیدگی و ماهیت غیرخطی قیود طراحی بر اساس عملکرد، برای حل مسئله مناسب به نظر می‌رسد. این خاصیت اولین بار توسط استارنس و هافتکار [۲۱] در سال ۱۹۷۹ که تقریب‌سازی‌های محافظه‌کارانه‌ای را برای مدل‌سازی قیود مشکل کمانش به کار بردن، نشان داده شد و سپس توسعه فرایند بهینه‌سازی با استفاده از این روش، توسط فلثوری و همکارانش [۲۲ و ۲۳] دنبال شد. در این مقاله از روش تقریب‌سازی محدب با استفاده از ترکیب متغیرهای معمولی و معکوس، برای تشکیل زیر مسئله بهینه‌سازی طراحی بر اساس عملکرد استفاده شده است. تقریب هر تابع مشتق پذیر مانند  $f(x)$  با استفاده از برنامه‌ریزی محدب معروف به CONLIN که در سال ۱۹۸۹ توسط فلثوری [۲۴] ارائه شد، مطابق رابطه زیر بیان می‌شود:

$$\begin{aligned} f(x) &= f(x^0) + \sum_{+} f_i^0 (x_i - x_i^0) \\ &\quad - \sum_{-} (x_i^0)^2 f_i^0 \left( \frac{1}{x_i} - \frac{1}{x_i^0} \right) \end{aligned} \quad (5)$$

که در آن:

$$\frac{dx_i}{d\lambda_k} = \begin{cases} -\frac{b_i c_{ik}}{2x_i a_i^2} & c_{ik} > 0 \\ -\frac{a_i c_{ik}}{2x_i a_i^2} & c_{ik} < 0 \end{cases} \quad (15)$$

حال با داشتن برای جستجو، بردار متغیرهای دوگان را می‌توان تا رسیدن به همگرایی مطلوب مطابق رابطه زیر محاسبه کرد:

$$\lambda^{(i+1)} = \lambda^{(i)} + \alpha S^{(i)} \quad (16)$$

که در آن،  $\lambda^{(i)}$  متغیرهای طراحی دوگان فعلی،  $S^{(i)}$  متغیرهای طراحی دوگان جدید،  $\alpha$  اندازه گام حرکت به طراحی جدید هستند. در این مقاله برای تعیین طول گام از روش جستجوی طلایی استفاده شده است که الگوریتم آن به طور کامل در مرجع [۲۵] آمده است. برای کنترل مثبت بودن متغیرهای دوگان، اندازه گام محاسبه شده باید شرط زیر را برآورده سازد:

$$0 < \alpha \leq -\lambda_k^{(i)} / s_k^{(i)} \quad k = 1, \dots, m \quad (17)$$

پس از یافتن ضرایب لاغرانژ  $\lambda$  مقادیر متغیرهای طراحی بر اساس رابطه (۱۶) بدست می‌آید.

## ۷- خلاصه مراحل بهینه‌سازی طراحی بر اساس عملکرد

برای حل مسئله بهینه‌سازی طراحی بر اساس عملکرد، به طور خلاصه مراحل زیر مورد نیاز است:

یک نقطه شروع به عنوان سعی اولیه طراحی، انتخاب می‌شود. آزمون اطمینان از وجود نقطه عملکرد با کنترل فصل مشترک بین طیف پاسخ و طیف ظرفیت انجام می‌شود؛ اگر پاسخ آزمون مثبت بود، مرحله بعد انجام می‌شود؛ در غیر این صورت با عملیات مقیاس‌سازی، نقطه شروع برای وجود محل تلاقی بین دو طیف اصلاح می‌شود.

تحلیل بار افزون برای ارزیابی پاسخهای سازه در سطح عملکرد مورد نظر انجام می‌شود.

تابع هدف و قیود طراحی در سطح عملکرد مورد نظر ارزیابی می‌شوند.

اگر  $x^*$  یک نقطه زین اسبی از تابع لاغرانژ باشد، آنگاه  $x^*$  یک حل بهینه برای مسئله اصلی خواهد بود [۲۴]. نقطه زین اسبی تابع لاغرانژ از حل مسئله حداقل-حداکثر زیر به دست می‌آید:

$$\max_{\lambda} \left( \min_x L(x, \lambda) \right) \quad (10)$$

مسئله حداقل-حداکثر در دو مرحله انجام می‌شود. ابتدا تابع لاغرانژ نسبت به  $x$  حداقل می‌شود تا یک تابع (که تابع دوگان نامیده می‌شود) بر حسب  $\lambda$  به دست آید. سپس تابع دوگان نسبت به  $\lambda$  تحت شرایط ضرایب لاغرانژ مثبت، جداکثر می‌شود. با تعریف تابع لاغرانژین بر حسب بردار متغیرهای اصلی  $x$  و بردار متغیرهای دوگان (ضرایب لاغرانژ)  $\lambda$  برای مسئله تعریف شده در رابطه (۸)، مطابق رابطه زیر:

$$L(x, \lambda) = \sum_{j=0}^m \lambda_j \left( \sum_{i+j} c_{ij} x_i + \sum_{i-j} \frac{c_{ij}}{x_i} - \bar{c}_j \right) \quad (11)$$

و از حداقل کردن آن نسبت به متغیرهای اصلی، نتیجه می‌شود که:

$$x_i = \sqrt{\frac{b_i}{a_i}}; \quad a_i = \sum_{j=0}^m c_{ij} \lambda_j \geq 0; \quad b_i = \sum_{j=0}^m c_{ij} \lambda_j \geq 0 \quad (12)$$

متغیر طراحی محاسبه شده از این رابطه باید بین کران پایین و بالای آن قرار گیرد ( $x_i^u < x_i < x_i^l$ )؛ حال با مشخص بودن متغیرهای اصلی بر حسب متغیرهای دوگان مطابق رابطه (۱۲)، حل مسئله را می‌توان با جداکترسازی تابع لاغرانژ نسبت به متغیرهای دوگان دنبال کرد:

$$\max_{\lambda} L(\lambda) = \sum_{j=0}^m \lambda_j \left( \sum_{i+j} c_{ij} x_i(\lambda) + \sum_{i-j} \frac{c_{ij}}{x_i(\lambda)} - \bar{c}_j \right) \quad (13)$$

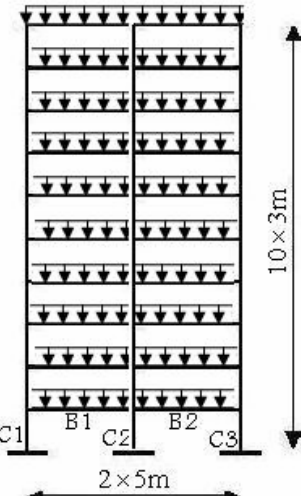
$$\text{subject to: } \lambda_j \geq 0$$

در تحقیق حاضر، روش تندترین کاهش با اعمال اصلاحاتی برای جداکترسازی مسئله مورد نظر به کار رفته است. درایه‌های بردار جهت جستجو با مشتق‌گیری از تابع لاغرانژ نسبت به متغیرهای دوگان به دست می‌آید:

$$s_k^{(i)} = \frac{dl}{d\lambda_k} = \sum c_{ik} x_i(\lambda) + \sum \frac{c'_{ik}}{x_i(\lambda)} - \bar{c}_k + \sum_{j=0}^m \lambda_j \left( \sum c_{ij} \frac{dx_i}{d\lambda_k} - \sum \frac{c'_{ij}}{x_i^2} \frac{dx_i}{d\lambda_k} \right) \quad (14)$$

سطح مقطع آرماتورهای طولی به عنوان تنها متغیرهای طراحی، طراحی بهینه شده است. مطابق فرضیات انجام شده برای این مثال، مقاومت فشاری بتن برابر  $20$  مگاپاسکال، مقاومت تسلیم آرماتورهای فولادی برابر  $335$  مگاپاسکال و بار ثقلی اعمال شده بر روی تیرهای طبقات برابر  $30$  کیلونیوتون بر متر هستند. به منظور قابل مقایسه بودن نتایج با نتایج حاصل از مراجع [۹] و [۱۲]، معیار جابه‌جایی نسبی طبقات به عنوان تنها معیار عملکردی، فرض می‌شود و مقدار نسبت جابه‌جایی نسبی طبقات به ارتفاع طبقه به  $1\%$  محدود می‌شود. طیف طراحی با فرض میرایی  $5$  درصد و با شتاب حداکثر اولیه  $1/4$  برابر شتاب ثقل مطابق با استاندارد طراحی لرزه‌ای کشور چین فرض می‌شود که برای اصلاح آن از ضوابط ATC40 [۱] استفاده شده است. الگوی بارگذاری متناسب با حاصل ضرب جرم طبقات در شکل مود ارتعاشی اول سازه است.

با توجه به تیپ‌بندی فرض شده برای آرماتور تیرها و ستونها [۹] و اضافه کردن متغیرهای طراحی ابعاد مقاطع در این تحقیق، به طور کلی  $66$  متغیر طراحی شامل  $30$  متغیر بعد (عرض و ارتفاع ستونهای کناری در هر دو طبقه متواالی دو متغیر، عرض و ارتفاع ستونهای میانی در هر دو طبقه متواالی دو متغیر و عرض و ارتفاع تیرها در هر طبقه دو متغیر در نظر گرفته شده‌اند) و  $36$  متغیر درصد آرماتور (درصد آرماتور ستونهای کناری در هر طبقه تا طبقه هشتم یک متغیر و در دو طبقه آخر یک متغیر، درصد آرماتور ستونهای میانی در هر طبقه تا طبقه هشتم یک متغیر و در دو طبقه آخر یک متغیر و درصد آرماتور فوقانی و تحتانی تیرها در هر طبقه تا طبقه هشتم دو متغیر و در دو طبقه آخر دو متغیر در نظر گرفته شده‌اند) که مقادیر اولیه آنها در جدول (۱) آمده است، تعریف می‌شوند. در تحقیق حاضر ابتدا با فرض ثابت بودن ابعاد مقاطع (همانند فرضیات مراجع [۹] و [۱۲])، نتایج حاصل از روش بهینه‌سازی محدب <sup>۱۱</sup> (CONOPT) با نتایج مرجع [۱۲] که در آن، از روش تغییرشکلهای یکنواخت <sup>۱۲</sup> (UD) و مرجع [۹] که در آن، از روش معیار بهینگی <sup>۱۳</sup> (OC) استفاده شده است، مقایسه شده‌اند.



شکل ۴- مشخصات هندسی قاب ده طبقه

تحلیل حساسیت غیرخطی در سطح عملکرد مورد نظر انجام می‌شود و حساسیتهای طراحی نسبت به همه متغیرها محاسبه می‌شوند.

برای تابع هدف و قیود طراحی در سطح عملکرد مورد نظر، روابط ریاضی بر اساس روش برنامه‌ریزی محدب تشکیل می‌شود.

الگوریتم بهینه‌سازی پیشنهادی برای جستجوی نقطه طراحی جدید مورد استفاده قرار گرفته و طرح جدید به دست می‌آید. آزمون بهینگی برای رسیدن به همگرایی مورد نیاز کترول می‌شود. اگر پاسخ آزمون، مثبت بود مراحل متوقف می‌شود؛ در غیر این صورت مراحل ۲ تا ۷ با فرض نقطه طراحی جدید به عنوان نقطه شروع، تکرار می‌شود.

## ۸- مثالهای طراحی

### ۱-۸- طراحی بهینه یک قاب بتن مسلح ده طبقه در دو حالت مختلف

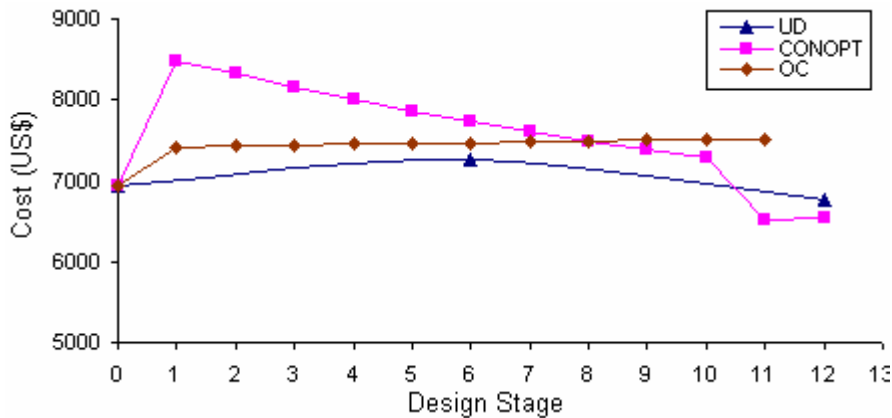
طراحی یک قاب دو دهانه و ده طبقه مطابق شکل (۴) مورد نظر است. این قاب قبلا در دو تحقیق جداگانه ابتدا توسط زو و چن [۹] در سال ۲۰۰۴ و سپس توسط مقدم و اسدی [۱۲] در سال ۱۳۸۵، بر اساس یک سطح عملکرد و با در نظر گرفتن

جدول ۱- مقادیر اولیه و بهینه متغیرهای طراحی

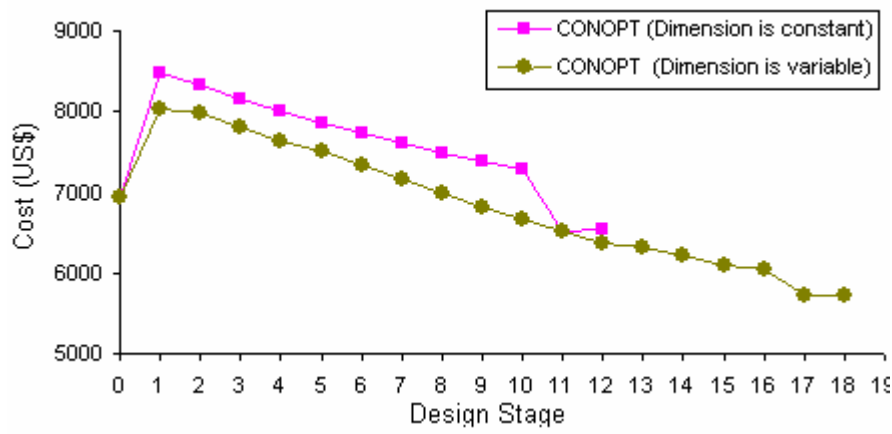
نوع عضو	شماره طبقه	تیپ عضو	ابعاد اولیه عضو (میلیمتر)	ابعاد بهینه عضو (میلیمتر)	درصد اولیه آرماتور	درصد بهینه آرماتور (ابعاد ثابتند)	درصد بهینه آرماتور (ابعاد متفاوت)	درصد بهینه آرماتور (ابعاد متفاوت)				
ستون					فوقانی تحتانی	فوقانی تحتانی	فوقانی تحتانی	- فوقانی تحتانی				
ستون	تیر	${}^{\text{9th}} - {}^{\text{10th}}$	C1,C3	۳۹۱	۲۵۶	۳۵۰	۳۵۰	۰/۶۱۱	۰/۶۱۱	۰/۷۱۶	۰/۷۱۶	۰/۹۹۰
			C2	۳۸۳	۲۵۳	۳۵۰	۳۵۰	۰/۶۳۱	۰/۶۳۱	۰/۸۷۹	۰/۸۷۹	۱/۳۸۶
			C1,C3	۳۸۸	۲۶۳	۳۵۰	۳۵۰	۰/۵۹۹	۰/۵۹۹	۰/۷۱۶	۰/۷۱۶	۰/۸۴
			C2	۴۰۳	۲۵۵	۴۷۵	۳۵۰	۰/۷۱۷	۰/۷۱۷	۰/۸۷۹	۰/۸۷۹	۰/۹۵۸
			C1,C3	۳۸۸	۲۶۳	۳۵۰	۳۵۰	۱/۰۴۶	۱/۰۴۶	۰/۸۳۲	۰/۸۳۲	۱/۱۶۳
			C2	۴۰۳	۲۵۵	۴۷۵	۳۵۰	۱/۱۴۳	۱/۱۴۳	۰/۸۱۴	۰/۸۱۴	۱/۰۹۱
			C1,C3	۴۰۶	۲۷۲	۴۰۰	۳۵۰	۰/۶۳۳	۰/۶۳۳	۱/۰۸۴	۱/۰۸۴	۰/۸۵۴
			C2	۵۱۰	۲۵۵	۵۷۵	۳۵۰	۰/۷۷۲	۰/۷۷۲	۰/۹۶۳	۰/۹۶۳	۰/۸۳۰
			C1,C3	۴۰۶	۲۷۲	۴۰۰	۳۵۰	۰/۸۵۳	۰/۸۵۳	۰/۸۳۰	۰/۸۳۰	۰/۹۶۹
			C2	۵۱۰	۲۵۵	۵۷۵	۳۵۰	۰/۹۹۸	۰/۹۹۸	۰/۷۴۱	۰/۷۴۱	۱/۰۰۴
تیر	${}^{\text{4th}}$	${}^{\text{3rd}}$	C1,C3	۴۳۴	۲۸۱	۴۵۰	۳۵۰	۰/۶۴۵	۰/۶۴۵	۱/۰۵۸	۱/۰۵۸	۰/۸۳۳
			C2	۵۰۹	۲۵۴	۶۰۰	۳۵۰	۰/۷۳۹	۰/۷۳۹	۰/۹۸۶	۰/۹۸۶	۰/۷۳۹
			C1,C3	۴۳۴	۲۸۱	۴۵۰	۳۵۰	۰/۸۷۲	۰/۸۷۲	۰/۶۹۱	۰/۶۹۱	۰/۸۲۴
			C2	۵۰۹	۲۵۴	۶۰۰	۳۵۰	۰/۹۷۶	۰/۹۷۶	۰/۶۰۰	۰/۶۰۰	۰/۸۵۷
			C1,C3	۴۵۵	۲۹۴	۴۵۰	۳۵۰	۰/۷۱۲	۰/۷۱۲	۱/۱۰۵	۱/۱۰۵	۱/۰۴۳
			C2	۶۴۴	۲۵۵	۶۵۰	۳۵۰	۰/۸۷۲	۰/۸۷۲	۱/۰۵۰	۱/۰۵۰	۱/۲۲۵
			C1,C3	۴۵۵	۲۹۴	۴۵۰	۳۵۰	۰/۵۸۸	۰/۵۸۸	۰/۴۴۴	۰/۴۴۴	۱/۵۱۴
			C2	۶۴۴	۲۵۵	۶۵۰	۳۵۰	۰/۶۹۲	۰/۶۹۲	۰/۴۶۱	۰/۴۶۱	۱/۸۴۴
			B1,B2	۴۴۹	۲۰۷	۴۰۰	۲۰۰	۰/۸۷۹	۰/۰۳۵	۱/۱۰۴	۰/۹۸۵	۰/۸۰۰
			B1,B2	۵۱۹	۲۰۲	۴۵۰	۲۰۰	۰/۶۲۵	۰/۵۱۵	۱/۰۸۶	۱/۰۰۲	۰/۸۳۷
	${}^{\text{5th}}$	${}^{\text{4th}}$	B1,B2	۵۱۹	۲۰۲	۴۵۰	۲۰۰	۰/۹۹۸	۰/۸۴۷	۱/۳۵۳	۱/۲۰۲	۰/۹۱۵
			B1,B2	۵۱۸	۲۱۸	۴۵۰	۲۵۰	۰/۵۰۳	۰/۵۱۱	۱/۱۷۸	۱/۱۱۹	۰/۸۹۷
			B1,B2	۵۸۵	۲۱۸	۴۵۰	۲۵۰	۰/۸۸۹	۰/۸۸۴	۱/۳۵۷	۱/۳۴۴	۰/۹۵۸
			B1,B2	۵۶۹	۲۱۴	۴۵۰	۲۰۰	۰/۶۱۰	۰/۶۱۹	۰/۹۳۵	۰/۹۲۰	۰/۹۱۵
			B1,B2	۵۶۹	۲۱۴	۴۵۰	۲۰۰	۱/۲۹۲	۱/۲۶۳	۱/۰۹۱	۱/۴۹۱	۰/۹۵۸
			B1,B2	۴۵۳	۲۰۲	۴۵۰	۲۰۰	۱/۰۵۶	۰/۹۸۲	۰/۵	۰/۵	۰/۹۸۱
			B1,B2	۴۵۳	۲۰۲	۴۵۰	۲۰۰	۰/۷۶۷	۰/۷۳۷	۰/۵۳۰	۰/۵۳۰	۰/۸۴۳

[۹] و [۱۲]), هزینه بتن ریزی با هزینه واحد حجم ۴۰ دلار بر متر مکعب و هزینه قالب‌بندی با هزینه واحد سطح ۱۰ دلار بر متر مربع نیز در نظر گرفته شده‌اند. نقطه شروع طراحی در روشن CONOPT، همان نقطه طراحی اولیه روشهای UD و OC

سپس تأثیر متغیر بودن ابعاد مقاطع بتنی بر نتایج بهینه‌سازی بررسی شده است. هزینه واحد وزن آرماتوریندی همانند مراجع یاد شده، برابر ۹۵۰ دلار بر تن فرض شده است. در حالت متغیر بودن ابعاد، علاوه بر هزینه آرماتوریندی (فرضیات مراجع



شکل ۵- منحنی تغییرات هزینه قاب ده طبقه در حالت ثابت بودن ابعاد مقاطع



شکل ۶- منحنی تغییرات هزینه قاب ده طبقه در حالت ثابت و متغیر بودن ابعاد مقاطع

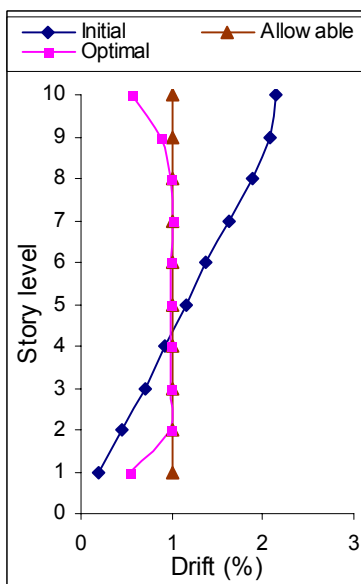
به حالتی که ابعاد ثابت فرض شده‌اند (۰.۶٪ کاهش هزینه)، کاهش یافته است. مقادیر هزینه‌ها مطابق جدول (۲) نشان می‌دهند که هزینه قالب‌بندی و بتن‌ریزی در طرح بهینه و طرح اولیه در روشهای UD و OC به دلیل ثابت در نظر گرفتن ابعاد مقاطع، یکسان است؛ در حالی که در روش CONOPT، مقدار آن در سازه بهینه و اولیه متفاوت است. علت اختلاف قابل توجه در مقدار کاهش هزینه در روش پیشنهادی تحقیق نسبت به روشهای UD و OC، توزیع بهینه همزمان مصالح شامل بتن و میلگرد در اعضای سازه در جهت کاهش هزینه‌های بتن‌ریزی، قالب‌بندی و آرماتوربندی است، در حالی که در روشهای به کار رفته در تحقیقات قبلی به دلیل ثابت نگه داشتن ابعاد مقاطع، امکان حداقل کردن کلیه هزینه‌ها وجود ندارد و فقط

است. مقادیر متغیرهای طراحی در سازه اولیه و سازه بهینه در جدول (۱) خلاصه شده‌اند.

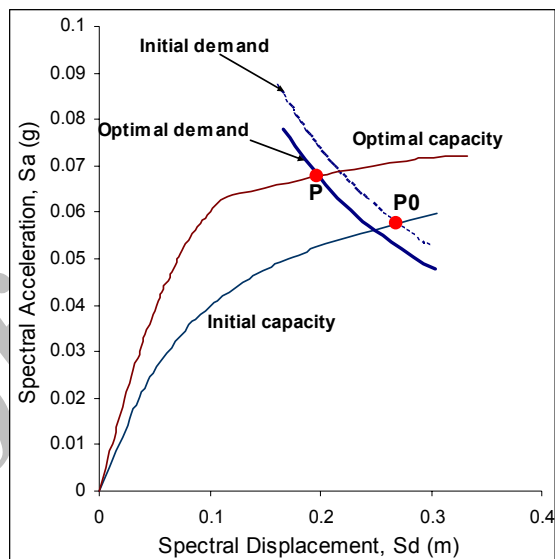
مقایسه منحنی تغییرات هزینه روش CONOPT (در حالت ثابت بودن ابعاد مقاطع) با روشهای UD و OC مطابق شکل (۵) نشان می‌دهد که میزان هزینه بهینه نسبت به هزینه اولیه در روش ۰.۶٪ کاهش یافته، در روش UD، ۰.۲٪ کاهش یافته و در روش OC، ۰.۸٪ افزایش یافته است که این موضوع CONOPT می‌تواند نشانگر نزدیکتر بودن نقطه بهینه روش CONOPT به روشهای UD و OC، به نقطه بهینه سراسری باشد. با توجه به منحنی تغییرات هزینه مطابق شکل (۶) مشاهده می‌شود که متغیر کردن ابعاد مقاطع تاثیر زیادی بر نتایج بهینه‌سازی دارد. در این حالت هزینه سازه به میزان قابل توجهی (۰.۱۷٪) نسبت

جدول ۲- هزینه طرح اولیه و بهینه در روش‌های مختلف

طرح بهینه				طرح اولیه	هزینه (دلار)
با فرض ابعاد متغیر CONOPT	با فرض ابعاد ثابت CONOPT	UD	OC		
۲۳۳۳	۲۹۷۲	۳۲۰۴	۳۹۵۶	۳۳۸۶	آرماتور
۳۳۸۲	۳۵۵۸	۳۵۵۸	۳۵۵۸	۳۵۵۸	بتن‌ریزی به علاوه قالب‌بندی
۵۷۲۲	۶۵۳۰	۶۷۶۲	۷۵۱۵	۶۹۹۴	مجموع هزینه‌ها



شکل ۸- منحنی توزیع تغییر مکان نسبی قاب ده طبقه در طرح بهینه و اولیه



شکل ۷- طیف ظرفیت و تقاضای قاب ده طبقه در حالت بهینه و اولیه

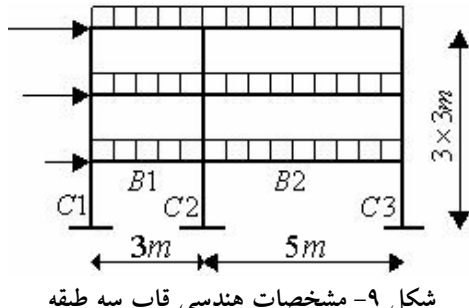
ضمن برآورده کردن قیود عملکردی، با توزیع بهینه بتن و میلگرد، هزینه‌ها را به حداقل رساند.

## ۲-۸- طراحی بهینه یک قاب بتن مسلح سه طبقه در دو حالت مختلف

در این مثال، هدف طراحی یک قاب مسطح سه طبقه و دو دهانه، مطابق شکل (۹) در دو حالت مختلف است. در حالت اول (OD1)، طراحی بر اساس سطح خطر با احتمال وقوع  $10\%$  در ۵۰ سال و سطح عملکرد اینمی جانی انجام می‌شود. تغییر مکان نسبی مجاز طبقات سازه در این سطح عملکرد برابر  $2\%$ ، چرخش پلاستیک مجاز ستونها برابر  $15^{\circ}$  و چرخش

آرماتورها به طور بهینه توزیع می‌شوند.

طیف ظرفیت و طیف تقاضای سازه را در حالت بهینه و اولیه مطابق شکل (۷) نشان می‌دهد که جایه‌جایی و شتاب طیفی سازه از  $0.2687$  متر و  $0.0577$  برابر شتاب ثقل در حالت اولیه به  $0.1969$  متر و  $0.0677$  برابر شتاب ثقل در حالت بهینه رسیده است. مقایسه منحنی تغییر مکان نسبی طرح بهینه و اولیه مطابق شکل (۸) نشان می‌دهد که در طرح اولیه تغییر مکان نسبی در بیشتر طبقات از مقدار مجاز خود تجاوز کرده است؛ در حالی که در طرح بهینه با وجود کاهش قابل توجه در هزینه، تغییر مکان نسبی کمتر از مقدار مجاز خود است و توزیع یکنواخت‌تری دارد. بنابراین الگوریتم بهینه‌سازی توانسته است



شکل ۹- مشخصات هندسی قاب سه طبقه

و ۱۶) تعریف می‌شوند.

با به کارگیری روش پیشنهادی تحقیق، نتایج طراحی استخراج و در جدول (۳) خلاصه شده‌اند. نتایج حاصله نشان می‌دهد که با یک طرح اولیه یکسان، روش تحقیق توانسته است هر دو سطح عملکرد مورد انتظار را ضمن حداقل‌سازی هزینه‌ها، برآورده سازد. مطابق نتایج جدول (۳)، هزینه طرح ۲ بیشتر از طرح ۱ است که این موضوع را می‌توان با بحرانی بودن سطح عملکرد CP (طرح ۲) نسبت به LS (طرح ۱) مرتبط دانست.

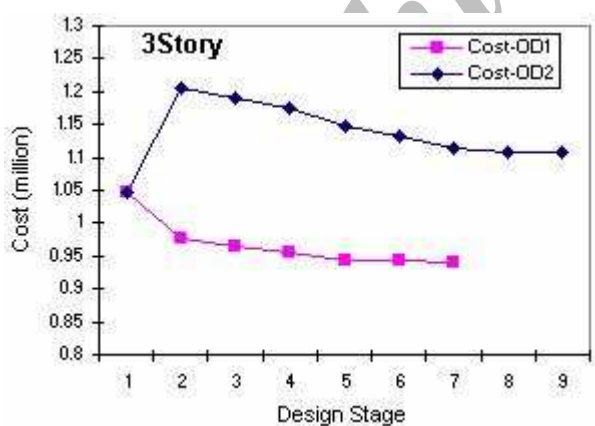
منحنی‌های ظرفیت و هزینه سازه مورد نظر در دو حالت طراحی، به ترتیب در شکل‌های (۱۰) و (۱۱) با هم مقایسه شده‌اند. منحنی‌ای تغییرات هزینه مطابق شکل (۱۱) نشان می‌دهد که طرح ۱ در ۷ چرخه و طرح ۲ در ۹ چرخه طراحی همگرا شده است. این موضوع همگرایی مطلوب الگوریتم بهینه‌سازی و توانایی روش به کار رفته را در حالت‌های مختلف طراحی تایید می‌کند. شکل (۱۰) نشان می‌دهد که منحنی ظرفیت سازه بهینه در هر یک از دو حالت طراحی، هم در ناحیه خطی و هم در ناحیه غیرخطی اصلاح شده که در نتیجه آن سطح عملکرد سازه به صورت مطلوبی تامین شده است. همچنین با بررسی نقاط عملکرد LS و CP که بر روی منحنی‌های ظرفیت مشخص شده‌اند، ملاحظه می‌شود که با تغییر مقدار تغییر مکان هدف از ۴٪ به ۲٪ موقعیت نقاط عملکرد سازه در حالت بهینه نیز جایه‌جا شده و در بهترین وضعیت (از لحظه حداقل سازی هزینه همزمان با برآورده کردن شرایط عملکردی) قرار می‌گیرند.

پلاستیک مجاز تیرها برابر  $200\text{ }\mu\text{m}$  فرض می‌شوند. در حالت دوم (OD2)، طراحی بر اساس سطح خطر با احتمال وقوع ۰.۲ در ۵۰ سال و سطح عملکرد جلوگیری از فروریزش مورد نظر است. تغییر مکان نسبی مجاز طبقات سازه در این سطح عملکرد برابر ۴٪، چرخش پلاستیک مجاز ستونها برابر  $250\text{ }\mu\text{m}$  و چرخش پلاستیک مجاز تیرها برابر  $250\text{ }\mu\text{m}$  فرض می‌شوند. برای تعیین زلزله طرح، طیف استاندارد ۲۸۰۰ با فرض خاک تیپ ۱ و منطقه با خطر نسبی بسیار زیاد مورد استفاده قرار می‌گیرد. فرض می‌شود که بتن دارای مقاومت فشاری ۲۰ مگاپاسکال، کرنش  $0.002$  به ازای حدکثر مقاومت فشاری و کرنش نهایی  $0.003$  و فولاد دارای مقاومت تسلیم  $300$  مگاپاسکال و مدول الاستیسیته  $20000$  مگاپاسکال باشد. هزینه واحد حجم بتن ریزی برابر چهل هزار تومان بر متر مکعب، هزینه واحد وزن آرماتور بندی برابر پانصد تومان بر کیلوگرم و هزینه واحد سطح قالب بندی برابر ده هزار تومان بر متر مربع فرض می‌شوند.

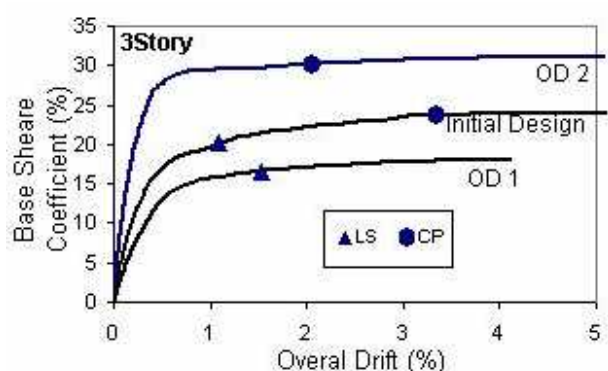
با توجه به تیپ‌بندی تیرها و ستونها، ۱۶ تغییر طراحی شامل عرض و ارتفاع ستونهای کناری (متغیر ۱ و ۲)، عرض و ارتفاع ستونهای میانی (متغیر ۳ و ۴)، سطح مقطع آرماتور ستونهای کناری و میانی (متغیر ۵ و ۶)، عرض و ارتفاع تیرها (متغیر ۷ و ۸)، سطح مقطع آرماتور تحتانی و فوقانی تیرها در محل اتصال به ستونهای C1 (متغیر ۹ و ۱۰)، سطح مقطع آرماتور تحتانی و فوقانی تیرها در محل اتصال به ستونهای C2 (متغیر ۱۱ و ۱۲)، سطح مقطع آرماتورهای تحتانی و فوقانی تیرها در محل اتصال به ستونهای C3 (متغیر ۱۳ و ۱۴) و سطح مقطع آرماتور تحتانی و فوقانی تیرها در قسمت میانی (متغیر ۱۵)

جدول ۳- نتایج طرح بهینه قاب سه طبقه

متغیرهای طراحی	طرح اولیه	طرح بهینه ۱	طرح بهینه ۲
۱	۳۰۰	۲۵۰	۲۵۰
۲	۳۰۰	۲۸۵	۳۷۰
۳	۳۰۰	۲۵۰	۲۵۰
۴	۳۰۰	۲۸۸	۳۷۲
۵	۷۵۰	۶۵۹	۷۱۱
۶	۷۵۰	۶۶۲	۷۱۴
۷	۳۰۰	۲۵۰	۲۵۰
۸	۳۰۰	۳۰۰	۴۰۷
۹	۷۵۰	۶۷۸	۸۱۳
۱۰	۷۵۰	۷۹۳	۷۶۹
۱۱	۷۵۰	۶۶۷	۷۶۳
۱۲	۷۵۰	۷۲۳	۸۱۴
۱۳	۷۵۰	۶۶۸	۷۷۷
۱۴	۷۵۰	۶۹۷	۸۲۳
۱۵	۷۵۰	۴۷۳	۴۱۷
۱۶	۷۵۰	۲۹۲	۴۱۷
هزینه (میلیون)	۱/۰۴۶۵	۰/۹۴۱۲	۱/۱۰۹۱
درصد کاهش هزینه	-	-۱۰٪	+۶



شکل ۱۱- منحنیهای هزینه قاب سه طبقه در دو حالت طراحی



شکل ۱۰- منحنیهای ظرفیت قاب سه طبقه در حالات مختلف

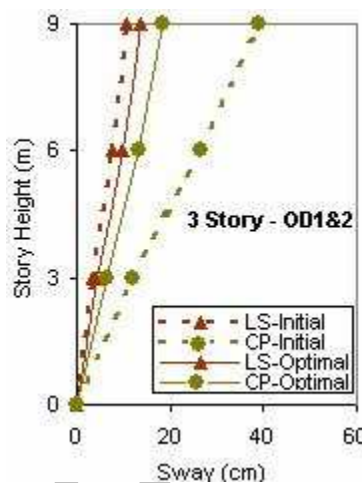
همچنین حداکثر چرخش پلاستیک ستونها که همگی وضعیت بحرانی تری نسبت به تیرها دارند، در این دو سطح عملکرد به ترتیب برابر  $15\%$  و  $19.8\%$  به دست آمده است. این مقادیر

با توجه به منحنی تغییر شکل جانبی سازه مطابق شکل (۱۲)، مقدار تغییر مکان نسبی حداکثر طبقه در سطوح عملکرد LS و CP، به ترتیب برابر  $1.78\%$  درصد و  $2.22\%$  درصد به دست می‌آید.

چرخشهای پلاستیک در بعضی از سطوح عملکردی است که در مرجع [۱۴] نیز نشان داده شده است.

## ۹- نتیجه‌گیری

در این مقاله، یک روش برای طراحی بر اساس عملکرد مبتنی بر اصول بهینه‌سازی توسعه داده شد. به این منظور، ابتدا طراحی بر اساس عملکرد به عنوان یک مسئله بهینه‌سازی، بر اساس معیارهای پذیرش دستورالعملهای موجود مدل شد. یک روش غیرخطی برای تحلیل سازه و ارزیابی عملکرد، بر اساس مدل پلاستیسیته گسترده و روش طیف ظرفیت، به کار رفت و بر اساس آن یک روش دقیق و موثر برای تحلیل حساسیت غیرخطی قابهای بتی پیشنهاد شد. بر اساس ضرایب حساسیت محاسبه شده، روابط ریاضی مسئله PBD با استفاده از روش محدب‌سازی توسعه یافت و یک الگوریتم بهینه‌سازی موثر با استفاده از روش دوگان برای حل مسئله طراحی شد. با ارائه نمونه‌های عددی نشان داده شد که روش توسعه یافته در این تحقیق توانسته است پیشرفت قابل ملاحظه‌ای نسبت به روش‌های موجود ایجاد کند و علاوه بر توزیع بهینه مقاومت، توزیع ساختی سازه را نیز بهینه‌سازی کند.



شکل ۱۲- تغییرشکل جانبی قاب سه طبقه در دو حالت طراحی

نشان می‌دهند که در هر دو حالت طراحی، قیود چرخشهای پلاستیک ستونها به عنوان قیود فعال (مقدارشان با مقادیر مجاز تقریباً یکسان است) عمل کرده‌اند. در عین حال در سطح عملکرد ایمنی جانی، مقدار تغییر مکان نسبی به مقدار مجاز خود (٪۲) نزدیک شده است. با این وجود، مقدار تغییر مکان نسبی (٪۴) طبقه در سطح عملکرد CP بسیار کمتر از مقدار مجاز آن (٪۴) می‌باشد. این موضوع ناشی از عدم سازگاری تغییر مکان نسبی و

## واژه نامه

- |                             |                                   |                         |
|-----------------------------|-----------------------------------|-------------------------|
| 1. loma-prieta              | 6. life safety                    | 11. convex optimization |
| 2. Northridge               | 7. collapse prevention            | 12. uniform deformation |
| 3. performance-based design | 8. pushover analysis              | 13. optimality criteria |
| 4. operational              | 9. nonlinear sensitivity analysis | 14. scaling             |
| 5. immediate occupancy      | 10. reciprocal design variables   |                         |

## مراجع

- Applied Technology Council, ATC-40, "Seismic Evaluation and Retrofit of Concrete Buildings," California Seismic Safety Commission, 1997.
- Federal Emergency Management Agency, Fema-273, "Nehrp Guideline for the Seismic Rehabilitation of Buildings," Building Seismic Safety Council, Washington DC, 1997.
- Federal Emergency Management Agency, Fema-356, "Prestandard and Commentary for The Seismic
- Ghobarah, A., "Performance Based-Design in Earthquake Engineering: State of Development," *Journal of Engineering Structures*, Vol. 23, pp. 878-884, 2001.
- Rehabilitation of Buildings," Building Seismic Safety Council, Washington DC, 1997.
- Beck, J. L. , Chan, E. , Irfanoglu, A. , and Papadimitriou, C., "Multi-Criteria Optimal Structural Design Under Uncertainty," *Earthquake Engineering & Structural Dynamics*, Vol. 28, pp. 741-761, 1999.

6. Ganzeri, S. , Pantelides, C. P. , and Reaveley, L. D., "Performance-Based Design Using Structural Optimization," *Earthquake Engineering & Structural Dynamics*, Vol. 29, pp. 1677-1690, 2000.
7. Foley, C. M., "Optimized Performance-Based Design for Buildings," *Recent Advances in Optimal Structural Design*, Edited by Scout A Burns, ASCE, 2002.
8. Gong, Y., "Performance-Based Design of Steel Building Frameworks under Seismic Loading," PhD Thesis, University of Waterloo, Ontario, Canada, 2003.
9. Zou, X. K., and Chan, C. M., "Optimal Seismic Performance-Based Design of Reinforced Concrete Buildings Using Nonlinear Pushover Analysis," *Engineering Structures*, Vol. 27, pp. 1289-1302, 2005.
10. کرمی محمدی، ر.، "اثر نحوه توزیع مقاومت بر پوشی بر کاهش خرابی سازه‌ها در زلزله،" رساله دکتری، دانشکده مهندسی عمران، دانشگاه صنعتی شریف، ۱۳۸۰.
11. حاجی رسولیها، ا.، "بررسی تاثیر نحوه توزیع عوامل مقاوم در سازه بر عملکرد لرزه‌ای آن،" رساله دکتری، دانشکده مهندسی عمران، دانشگاه صنعتی شریف، ۱۳۸۴.
12. اسدی، "بهینه‌سازی توزیع میلگرد در طراحی لرزه‌ای قابهای بتونی،" پایان نامه کارشناسی ارشد، دانشکده مهندسی عمران، دانشگاه صنعتی شریف، ۱۳۸۵.
13. Park, Y. J. , Reinhorn, A. M. , and Kunnath, S. K., *IDARC: Inelastic Damage Analysis of Frame Shear-Wall Structures*. Technical Report NCEER-87-0008, National Center for Earthquake Engineering Research, State University of Newyork at Buffalo, 1987.
14. حبیبی، ع. ر.، مجرمی، ح.، و تنسنیمی، ع. ع.، "ارزیابی عملکرد لرزه‌ای قابهای خمپی بتون‌مسلح با استفاده از اندیس خسارست سختی،" نشریه دانشکده فنی (ویژه مهندسی عمران)، جلد ۴۰، شماره ۵، صفحات ۷۰۱ تا ۷۱۲، ۱۳۸۵.
15. حبیبی، ع. ر.، "بهینه‌سازی طراحی لرزه‌ای قابهای بتون مسلح دو بعدی بر اساس عملکرد،" رساله دکتری، دانشکده فنی و مهندسی، دانشگاه تربیت مدرس، ۱۳۸۶.
16. Habibi, A. R. , Moharrami, H. , and Tasnimi, A. A., "Sensitivity Analysis for Nonlinear Response of RCMRF Using Pushover Analysis," *Asian Journal of Civil Engineering*, Vol. 8, pp. 149-173, 1988.
17. Bathe K. J. *Finite Element Procedures*, Prentice Hall, 1996.
18. Vanderplaats, G. N., and Salajegheh, E., "An Efficient Approximation Technique for Frequency Constraints in Frame Optimization," *International Journal for Numerical Methods in Engineering*, Vol. 26, pp. 1057-1069, 1988.
19. Moharrami, H. , and Grierson, D. E. , "Computer Automated Design of Reinforced Concrete Frameworks," *ASCE, Journal of Structural Engineering*, Vol. 119, No. 7, PP. 2036-2058, 1993.
20. Schmit, L. A. , and Farshi, B., "Some Approximation Concepts for Structural Synthesis," *AIAA Journal*, Vol. 12, No. 5, pp. 692-699, 1974.
21. Starnes, J. H., and Haftka, R. T., "Preliminary Design of Composite Wings for Buckling, Stress and Displacement Constraints," *Journal of Aircraft*, Vol. 16, pp. 564-570, 1979.
22. Fleury, C., "CONLIN: An Efficient Dual Optimizer Based on Convex Approximation Concepts," *Structural Optimization*, Vol. 1, pp. 81-89, 1989.
23. Fleury, C., and Braibant, V., "Structural Optimization: A New Dual Method Using Mixed Variables," *Int. Journal of Num. Meth. Eng.*, Vol. 23, pp. 409-428, 1986.
24. Lasdon, L. S., *Optimization Theory for Large Systems*, Macmillan, NEW YORK, 1970.
25. Arora, J. S., *Introduction to Optimum Design*, McGraw-Hill Book Company, 1970.